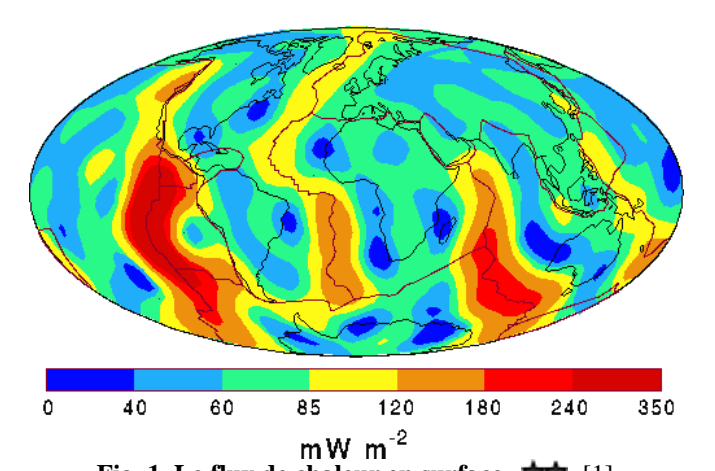
BCPST1 - G. Furelaud 1/9

ST-C poly 01

Dynamique des enveloppes internes - documents



	Superficie (km²)	Flux moyen (mW . m ⁻²)	Quantité de chaleur dissipée (W)
Continents émergés	149,3 . 10°	58,6	8,8 . 1012
Plates-formes continentales	52,2 . 104	54,4	2,8 . 100
Océans	308,6 . 10%	67,0	20,7 . 1012
	Circulation hydrothermale		9,7 . 1012
		Total	42,0 . 1012

Fig. 2. Flux de chaleur diffusé à la surface de la Terre. **★** [1]

Fig. 1. Le flux de chaleur en surface. ** [1]

Enveloppes du globe terrestre	CARACTÈRES ÉTUDIÉS				
	Volume (km³)	Teneur en uranium (tonne/km³)	Puissance dégagée par km³ (W/km³)	Puissance totale (W)	
Croûte continentale	4,5 . 10 ⁹	1 800	1 700	7,7 . 10 ¹²	
Croûte océanique	4,0 . 10 ⁹	300	340	1,4 . 1012	
Manteau	920 . 10 ⁹	30	30	30 . 1012	
Noyau	180 . 10°	?	?	faible, négligée	

Fig. 3. Chaleur dégagée par désintégration radioactive de l'Uranium pour les différentes enveloppes terrestres. ** [1]

Isotope	τ (ans)	h ₀ (J·kg ⁻¹)	concentration C_0 (kg·kg ⁻¹)
238U	4,47 × 10 ⁹	1,90 × 10 ¹³	$25,5 \times 10^{-9}$
235 _U	$7,04 \times 10^{8}$	1,82 × 10 ¹³	$0,19 \times 10^{-9}$
²³² Th	1,40 × 10 ¹⁰	1,71 × 10 ¹³	103×10^{-9}
⁴⁰ K	$1,25 \times 10^{9}$	1,58 × 10 ¹²	$32,9 \times 10^{-9}$

Temps de demi-vie au, énergie libérée par kilogramme de matière décomposée h_0 et concentration actuelle Co dans le manteau primitif des éléments radioactifs terrestres.

Ici, t = 0 correspond à l'âge actuel de la Terre, pour lequel on a pu mesurer les concentrations en éléments radioactifs C_0 . On peut calculer les valeurs de H actuelles et il y a 3 milliards d'années. Elles sont regroupées dans le tableau 2.6.

Isotope	H(t=0)(TW)	H(t=-3 Ga)(TW)
238 _U	9,6	15,2
²³⁵ U	0,4	8,1
232Th	e esta hiso co 11,1 as socialis	12,9
40K	3,7	19,4
Total	24,8	55,6

Production de chaleur radioactive dans le manteau primitif actuel (t = 0) et il y a 3 milliards d'années.

Fig. 4. Les principaux isotopes radioactifs responsables de l'énergie libérée par la Terre. **†** [1]

Flux moyen	$42,3TW$ $70mW.m^{-2}$	$7.10^5 \ TW \qquad 1400 \ W.m^{-2}$
Total	42,3TW	$7.10^5~TW$
différenciation Energie initiale	3,8TW	
différenciation	$\sim 3,5TW$	$7.10^5~TW$
désintégration radioactive	35TW	4
Chaleur interne		Chaleur externe

BCPST1 – G. Furelaud 2/9

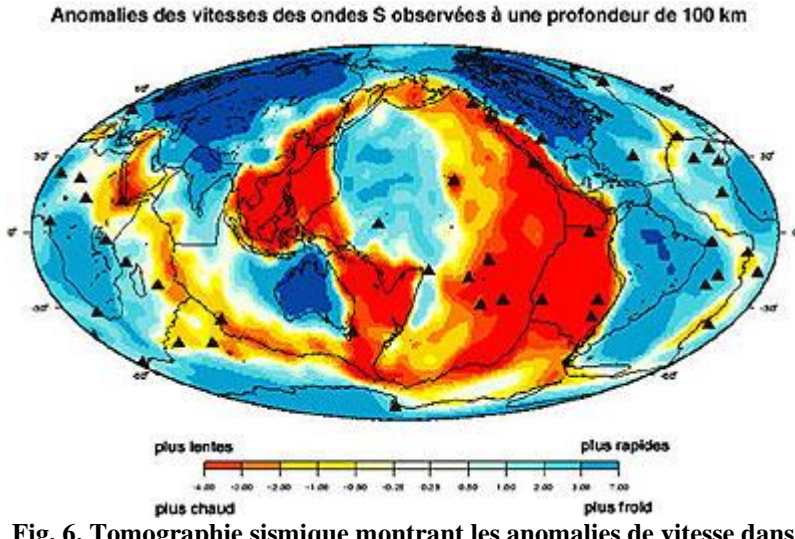
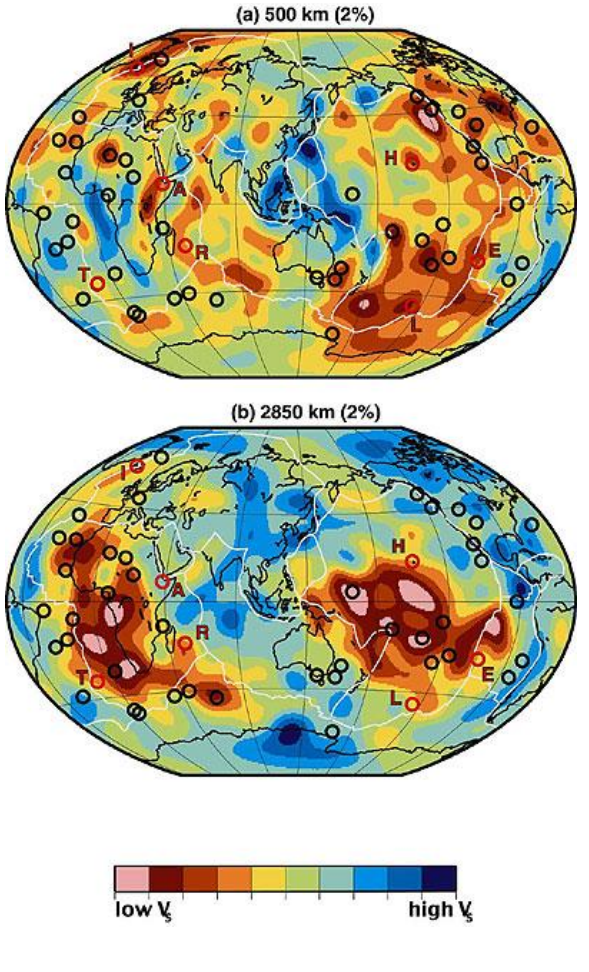


Fig. 6. Tomographie sismique montrant les anomalies de vitesse dans le manteau à 100 km de profondeur. ★ [1]

On note la présence d'un manteau plus chaud sous les dorsales ; en particulier l'anomalie thermique est bien plus marquée sous la dorsale Pacifique (rapide) que sous la dorsale Atlantique (lente).

Fig. 7. Tomographies sismiques dans le manteau à 500 km et 2850 km de profondeur. \bigstar [1]

On note qu'à 500 km, vers la base du manteau supérieur, on garde une certaine corrélation avec les évènements de surface (dorsales, subduction), mais que dans le manteau inférieur (2850 km), les anomalies thermiques ne sont pas corrélables avec la tectonique des plaques observée en surface.



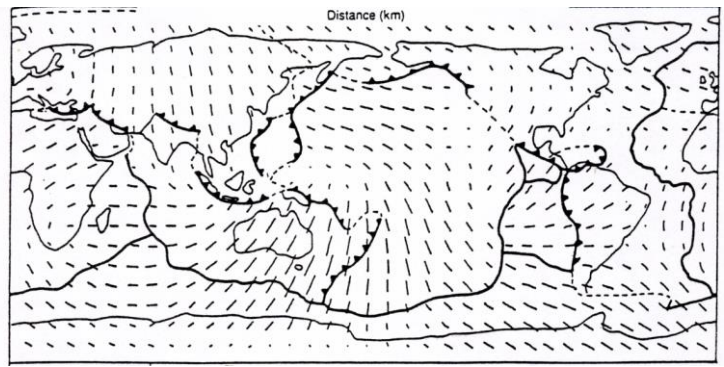
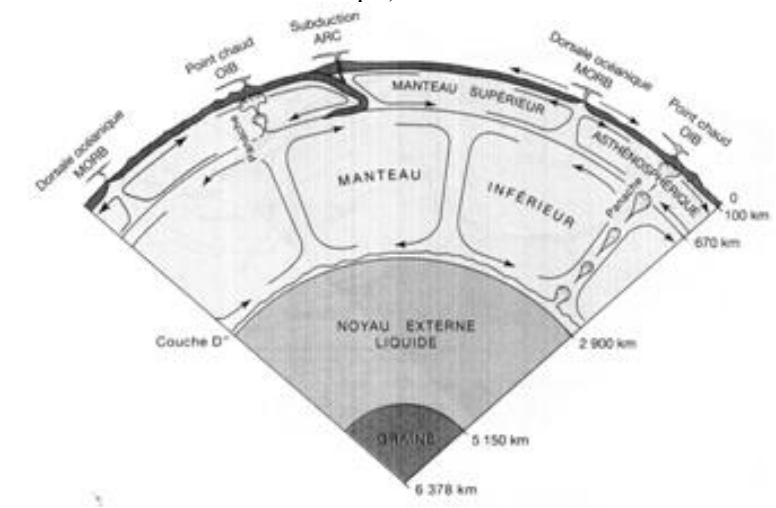


Fig. 8. Orientation des cristaux d'olivine dans l'asthénosphère, à 300 km de profondeur, d'après les données de tomographie sismique. **†** [1]

On note qu'en général les mouvements relient les zones de subduction aux dorsales (certaines dorsales ne semblent pas « intervenir » dans cette orientation, comme la dorsale Atlantique : ceci fait partie des éléments montrant que les dorsales lentes ne sont pas des éléments moteurs de la convection mantellique).

Fig. 9. Modèle de convection mantellique à deux niveaux.



BCPST1 – G. Furelaud 3/9

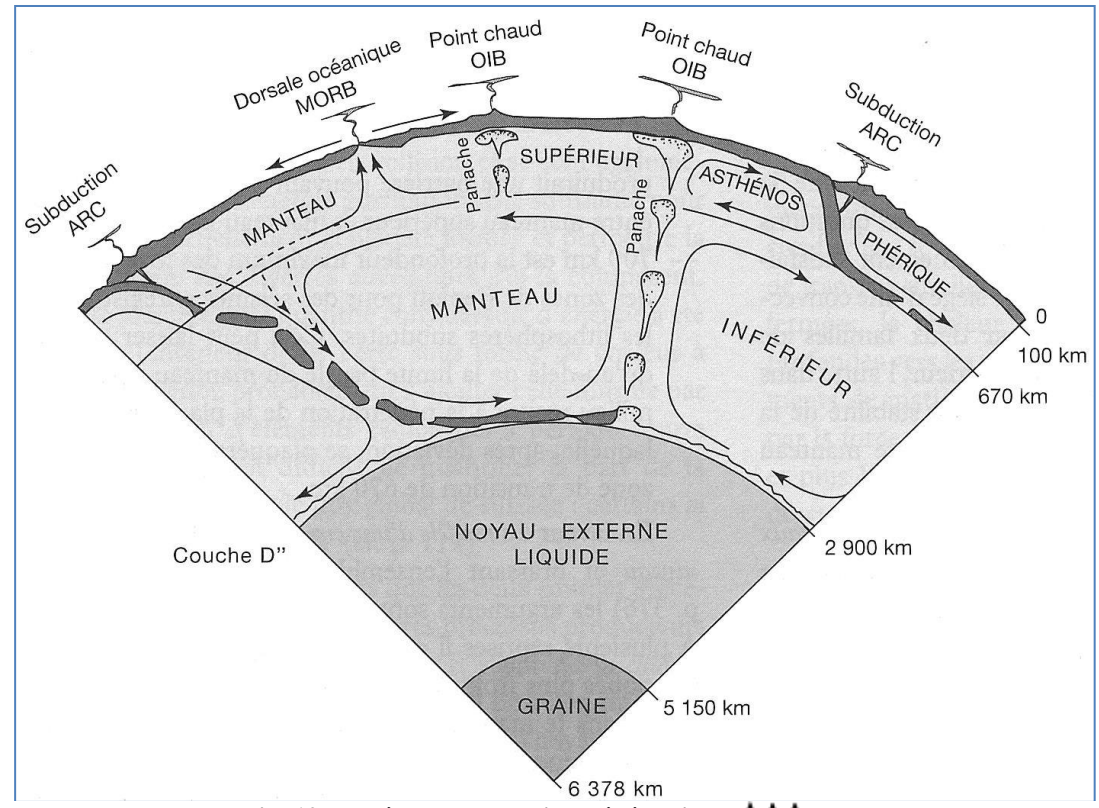
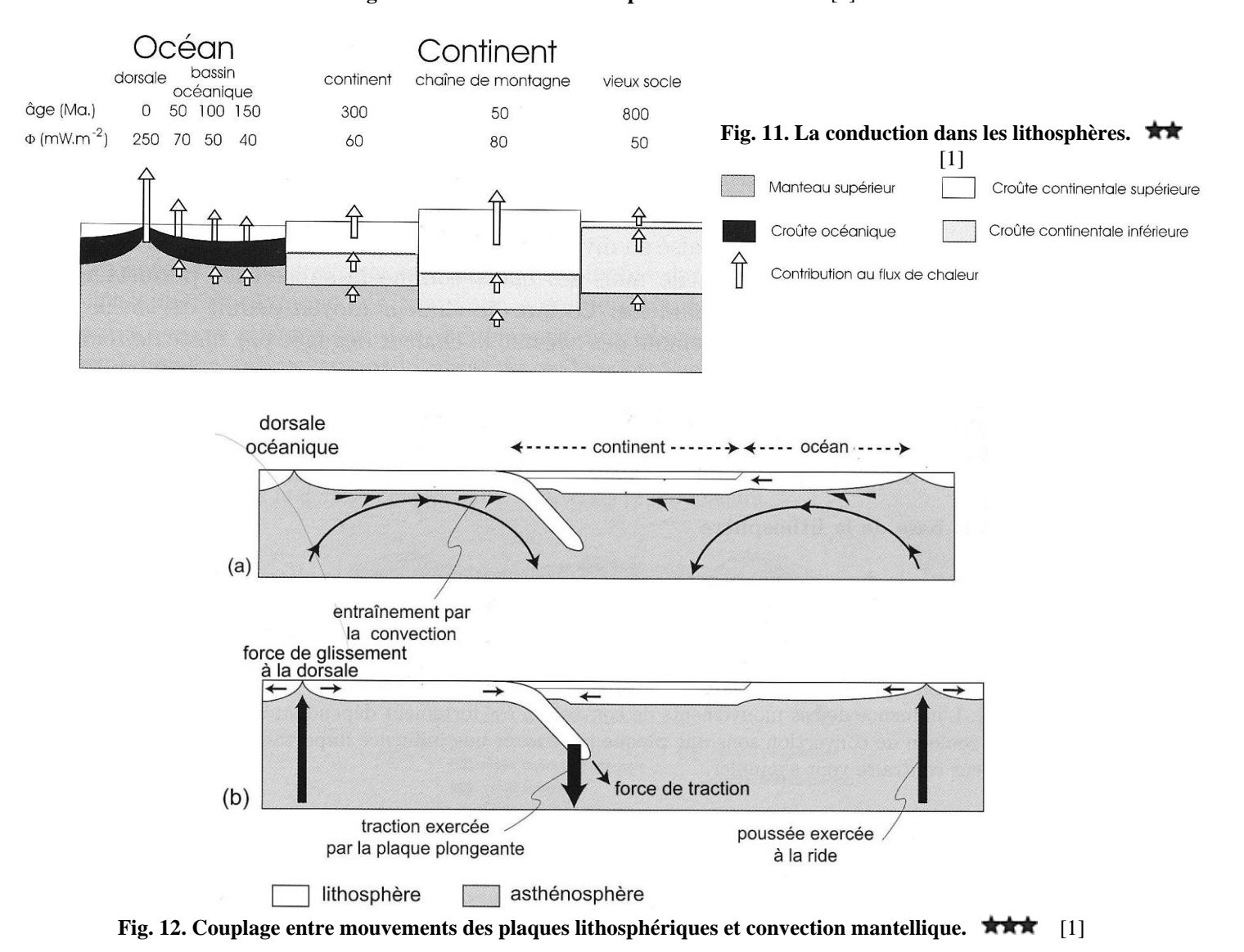


Fig. 10. Modèle de convection pénétrative.



BCPST1 - G. Furelaud 4/9

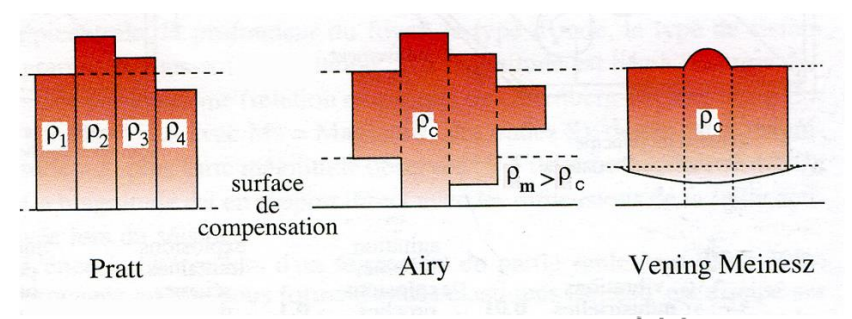
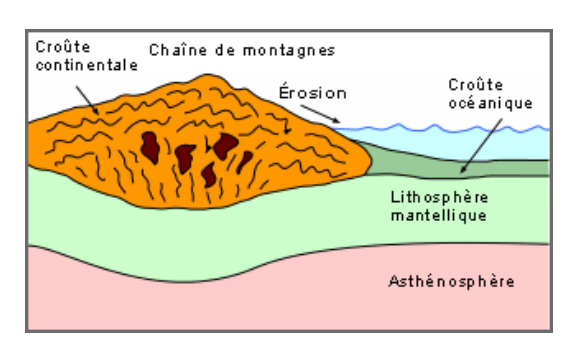
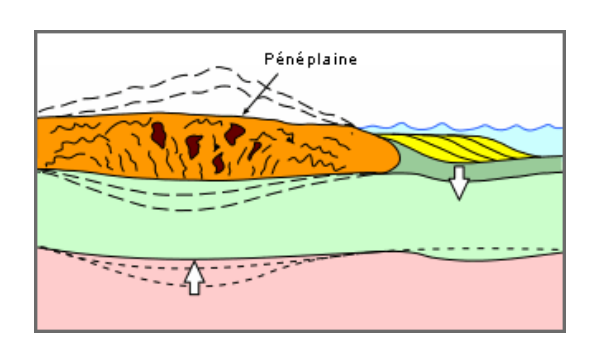


Fig. 13. Les modèles théoriques d'isostasie. **★★★** [1]





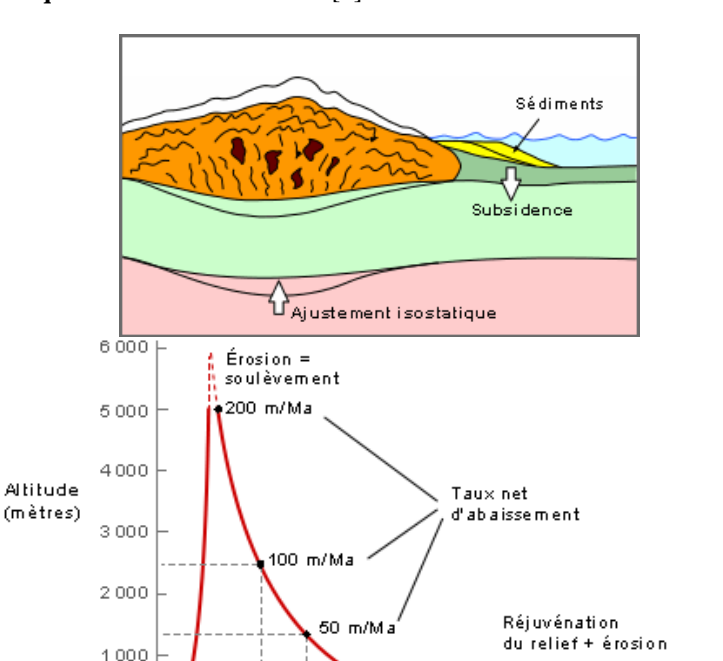
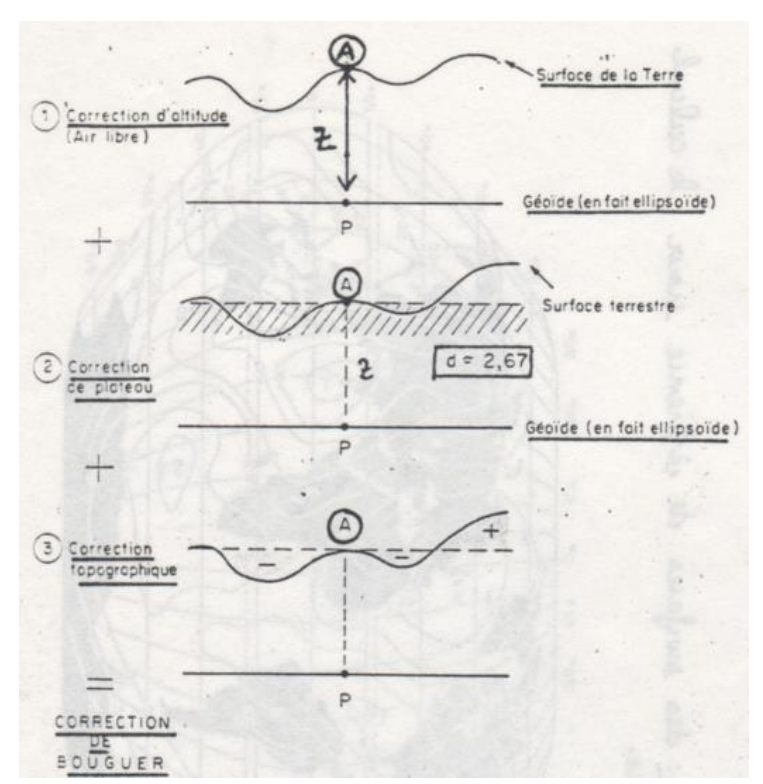


Fig. 14. L'érosion d'une chaîne de montagne. **†** [2]

Altitude



La correction à l'air libre

Cette correction permet de prendre en compte les effets de l'altitude (ou de la profondeur) par rapport à la surface de référence.

Temps (Ma)

 $g_{corrigé\ air\ libre} = g_{mesuré\ \textbf{--}\ 0,3086\ \Delta h}$ Soit : $\Delta g_{th} = -0.3086 \Delta h$

Δh : altitude par rapport au niveau de référence, en mètres

Subsidence + sédimentation

La correction de plateau

Cette correction prend en compte la matière excédentaire (ou non) entre la surface de référence et le point mesuré. On a : $\Delta g_{th} = 2.\pi.G.\rho.\Delta h$, avec Δh l'altitude par rapport au niveau de référence en mètres, et ρ la densité des roches (2,67 pour les continents). Soit:

$$\Delta g_{th} = +0.0419 \rho \Delta h$$

La correction topographique

Les reliefs proches du point de mesure influent sur la valeur du g mesuré. Par exemple, un relief montagneux crée une attraction, et donc une diminution de la valeur de la gravité.

La correction de Bouguer est la somme des différentes corrections mesurée.

Fig. 15. Correction à l'air libre et correction de Bouguer.

BCPST1 – G. Furelaud 5/9

Fig. 16. Exemple de calcul d'anomalies gravimétriques, au niveau de la ville de Chamonix, dans les Alpes. 🖈

(1) Anomalie à l'air libre

On prend ici comme EXEMPLE la ville de Chamonix, à l'altitude de 1038 m. La valeur de la pesanteur **mesurée** à Chamonix est de :

g(M) = 980 332,9 mGal

On calcule une pesanteur **théorique** sur la base de l'ellipsoïde de Clairaut :

 $g_{th} = 978031,\!846\;(1+0,\!0053024\;sin^2\phi - 0,\!0000058\;sin^22\phi)$ en mGal

avec φ la latitude, égale à 45,9° pour Chamonix, on trouve : $g(th) = 980\ 712,7\ mGal$

A Chamonix, la correction **à l'air libre** est de 10,38 x 30,86 soit - 320,3 mGal et le g théorique corrigé à l'air libre est : $g_{air libre} = 980 \ 392,3 \ mGal$.

Ceci correspond à une anomalie à l'air libre de :

 Δ (air libre) = 980 332,9 - [980 712,7 - (10,38 x 30,86)] = -59,5 mGal

On est en présence d'une anomalie à l'air libre négative, qui traduit un déficit de masse non compensé.

→ Érosion de la chaîne alpine, pas encore compensé par rééquilibrage isostatique. La chaîne alpine présente une lithosphère avec un mouvement ascendant qui tend à corriger ce déficit de masse.

Fig. 17. L'obtention du géoïde par altimétrie satellitale. ★ [1]

Les radars embarqués envoient des impulsions à fréquence donnée et enregistrent le signal réfléchi par la surface de l'océan. Grâce à la mesure de la durée de l'aller-retour, on calcule l'altitude instantanée (h). Des réseaux de balises permettent de mesurer la distance entre le satellite et l'ellipsoïde de référence (H). On élimine les effets des vagues et courants (h_c) et on obtient la différence entre l'ellipsoïde et le géoïde.

(2) Anomalie de Bouguer

Pour Chamonix la correction de plateau est de :

 $(10.47 \times 10.38) = +109.7 \text{ mGal}$

=> le nouveau g théorique corrigé est :

 $(980\ 392,3+109,7) = 980\ 502\ mGal.$

Soit une anomalie de plateau de :

 $\Delta_{\text{(plateau)}} = 980\ 332,9 - 980\ 502 = -169,5\ \text{mGal}$

On peut constater que, loin d'améliorer la situation, la correction de plateau a amplifié l'erreur, avec une anomalie plus fortement négative !

La correction topographique à Chamonix est de

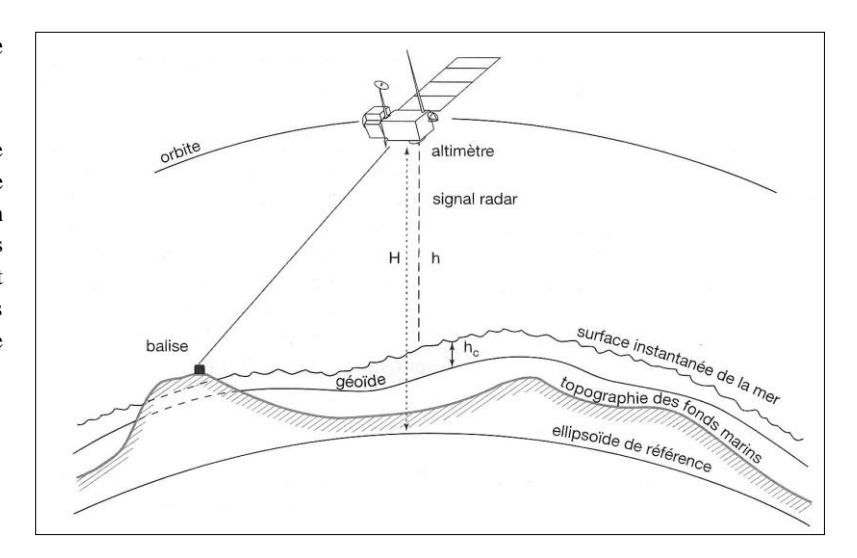
- 34 mGal

Le nouveau g théorique corrigé est alors de : (980 502 - 34) = 980 468 mGal.

L'anomalie de Bouguer à Chamonix est donc de : g mesuré – g théorique corrigé = (980 332,9 - 980468) = - 135,1 mGal

On est en présence d'une anomalie de Bouguer négative, qui traduit un déficit de masse en profondeur.

Ce déficit peut être interprété comme étant dû à la présence d'une racine crustale importante. Cette racine crustale, de moindre densité que le manteau environnant, est compensée isostatiquement.



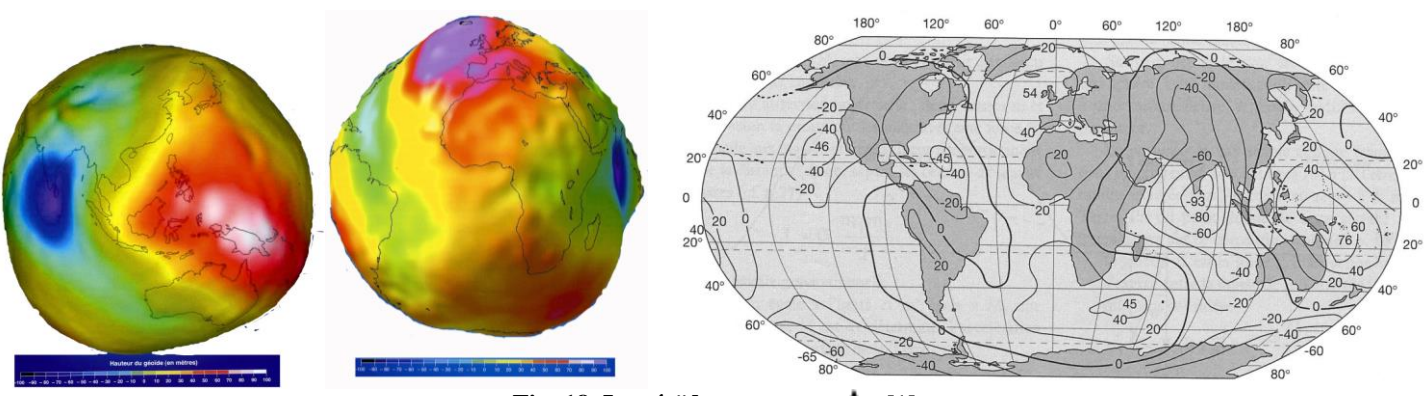


Fig. 18. Le géoïde terrestre. **†** [1]

BCPST1 – G. Furelaud 6/9

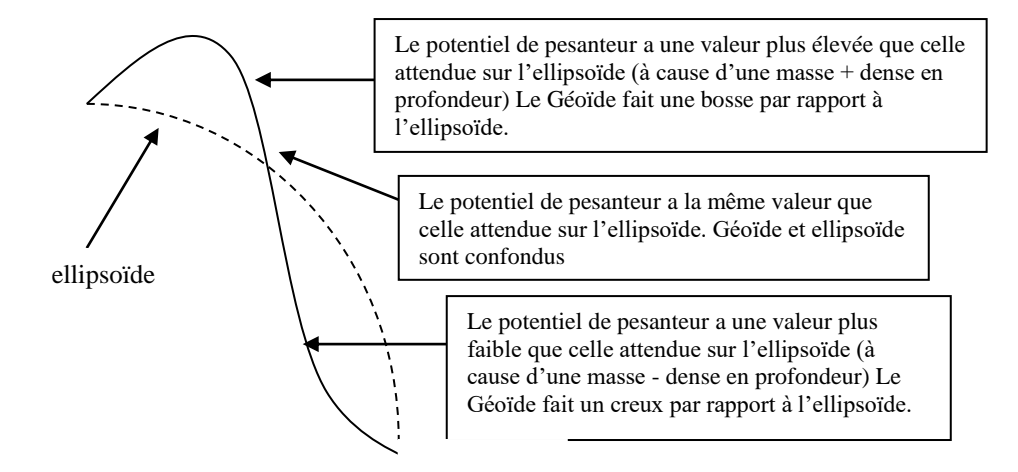
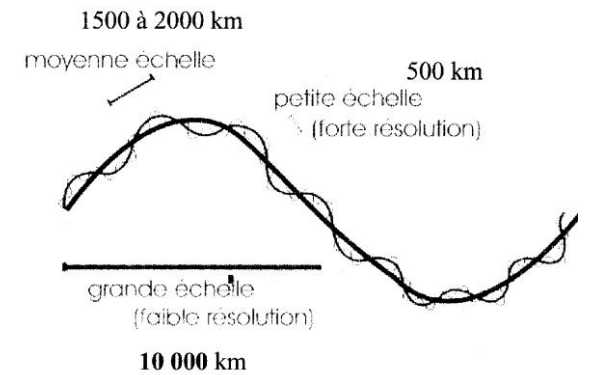
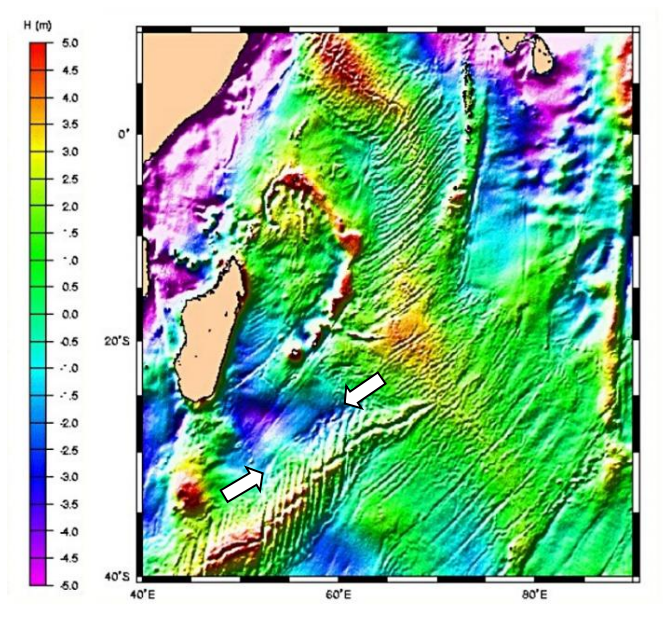


Fig. 19. Bosses et creux du géoïde.

Une bosse sur le géoïde correspond à un excès de masse, alors qu'un creux correspond à un déficit de masse.

Fig. 20. Les différentes longueurs d'onde d'étude du géoïde.





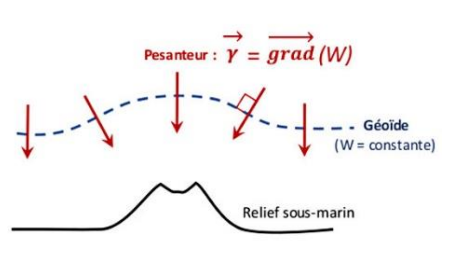


Fig. 21. Le géoïde océanique aux petites longueurs d'ondes.

On peut observer ici différentes topographies de l'océan Indien, dont des dorsales : flèches + schématisation en coupe.

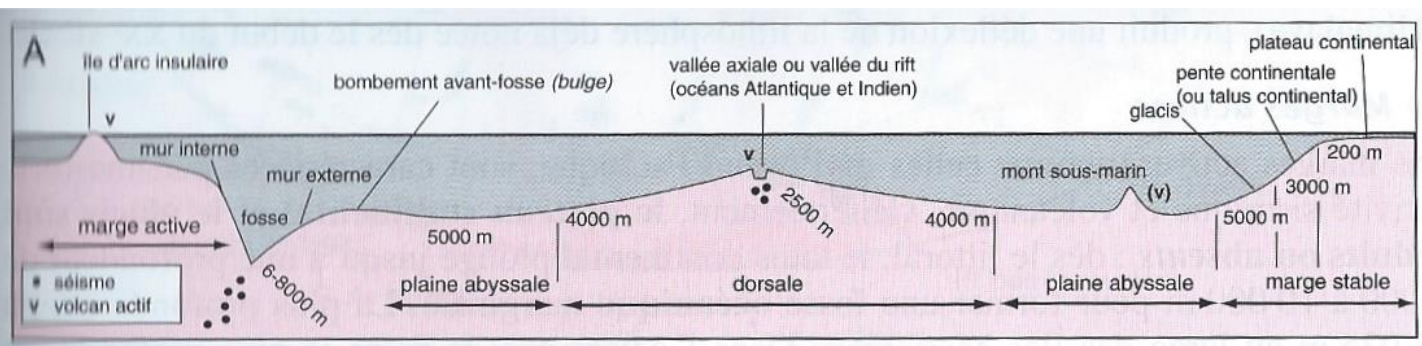


Fig. 22. Morphologie des fonds océaniques.

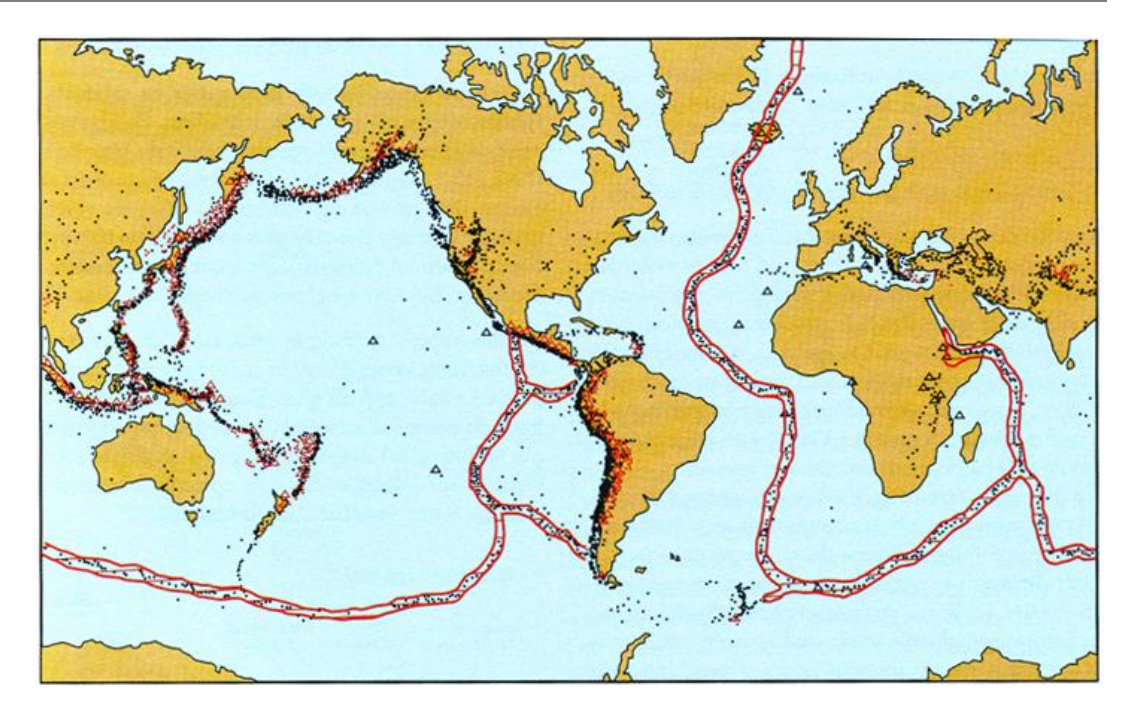
BCPST1 – G. Furelaud 7/9

Fig. 23. Répartition des séismes et des volcans en activité.

 $\begin{array}{lll} Points = s\'{e}ismes & superficiels \\ (fonc\'{e}s: profondeur < 100 \ km, \\ superficiels ; & plus & clairs : \\ profondeur & > 100 \ km, \\ profonds) \end{array}$

Triangles = volcanisme intraplaque (triangles foncés) et calco-alcalin (triangles plus clairs

Zones hachurées délimitées par deux traits = volcanisme tholéitique



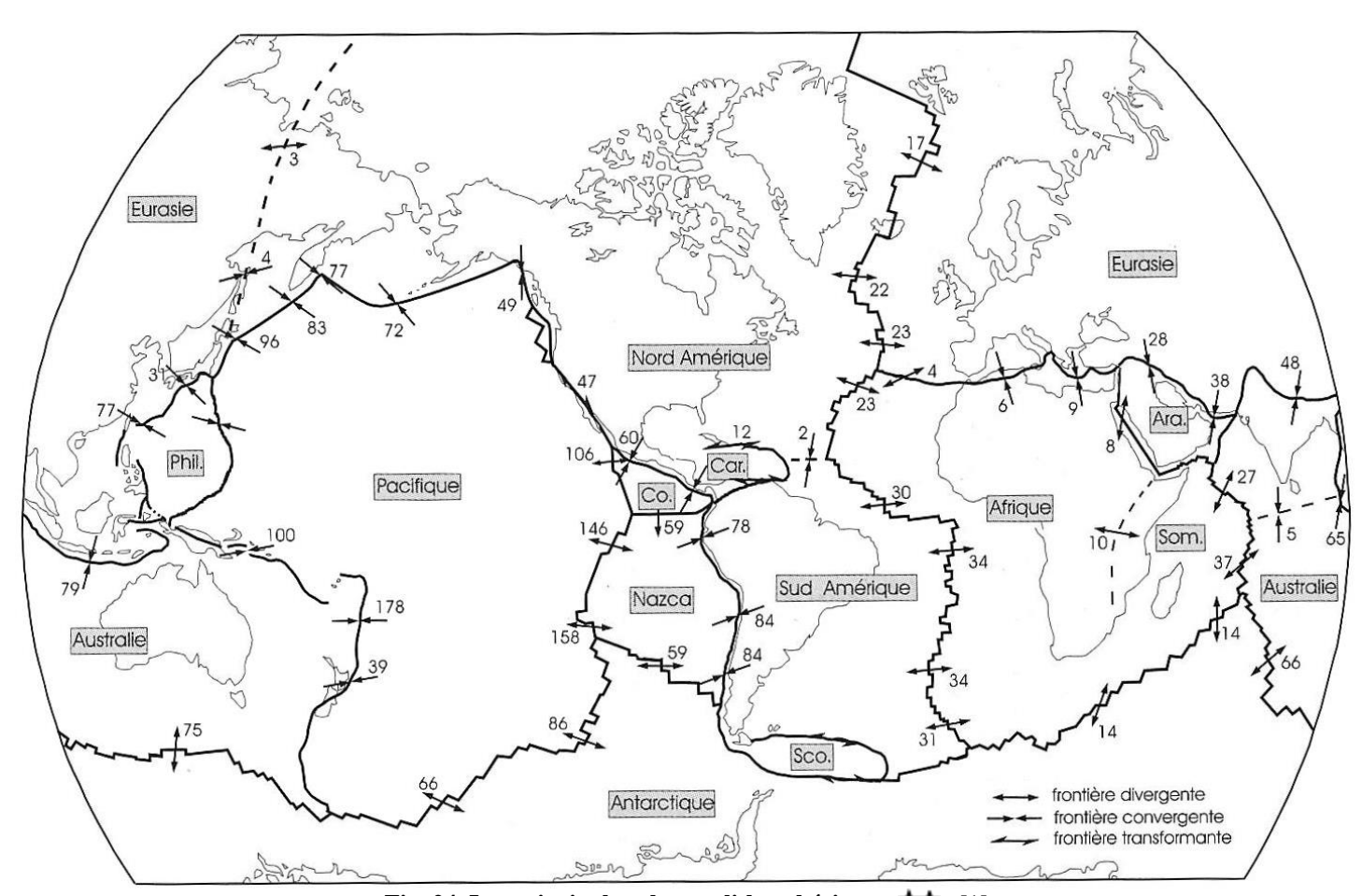


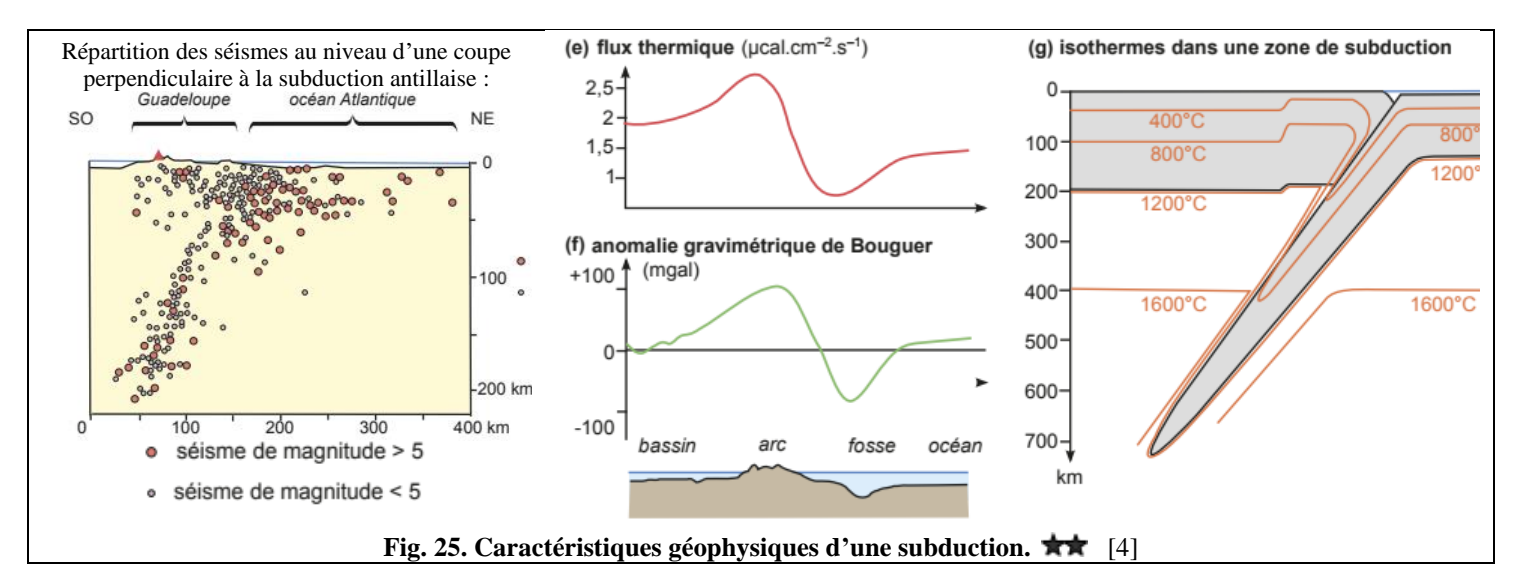
Fig. 24. Les principales plaques lithosphériques 🗯 [1]

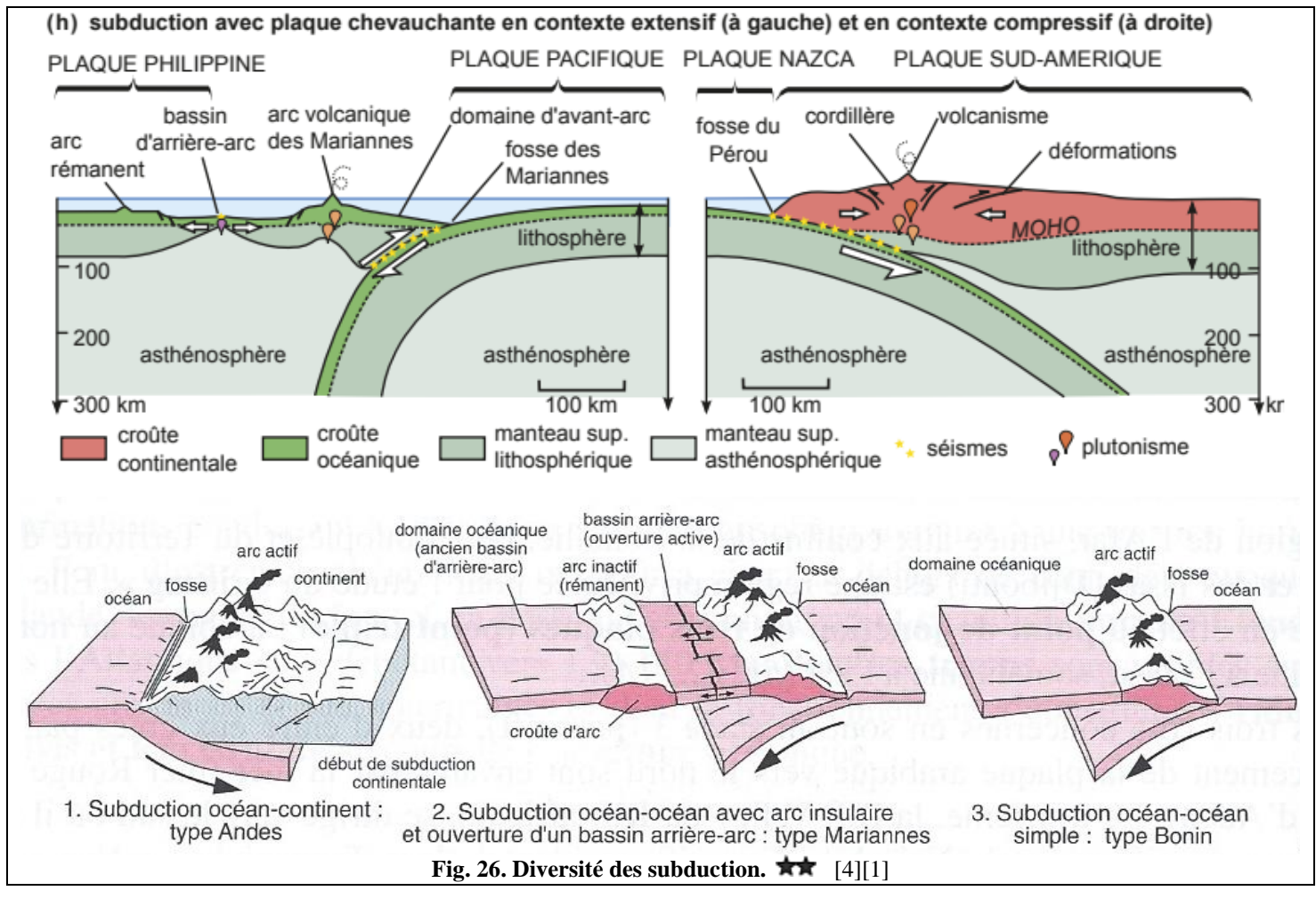
Modèle NUVEL-1, présentant douze plaques. Les chiffres indiquent les mouvements relatifs en cm/an.

Ara. = Arabique ; Car. = Caraïbes ; Co. = Costa-Rica ; Phil. = Philippine ; Sco. = Scottia.

Des modèles plus précis rajoutent d'autres plaques de petite taille (Iranienne, Turque, Juan de Fuca au nord ouest des USA).

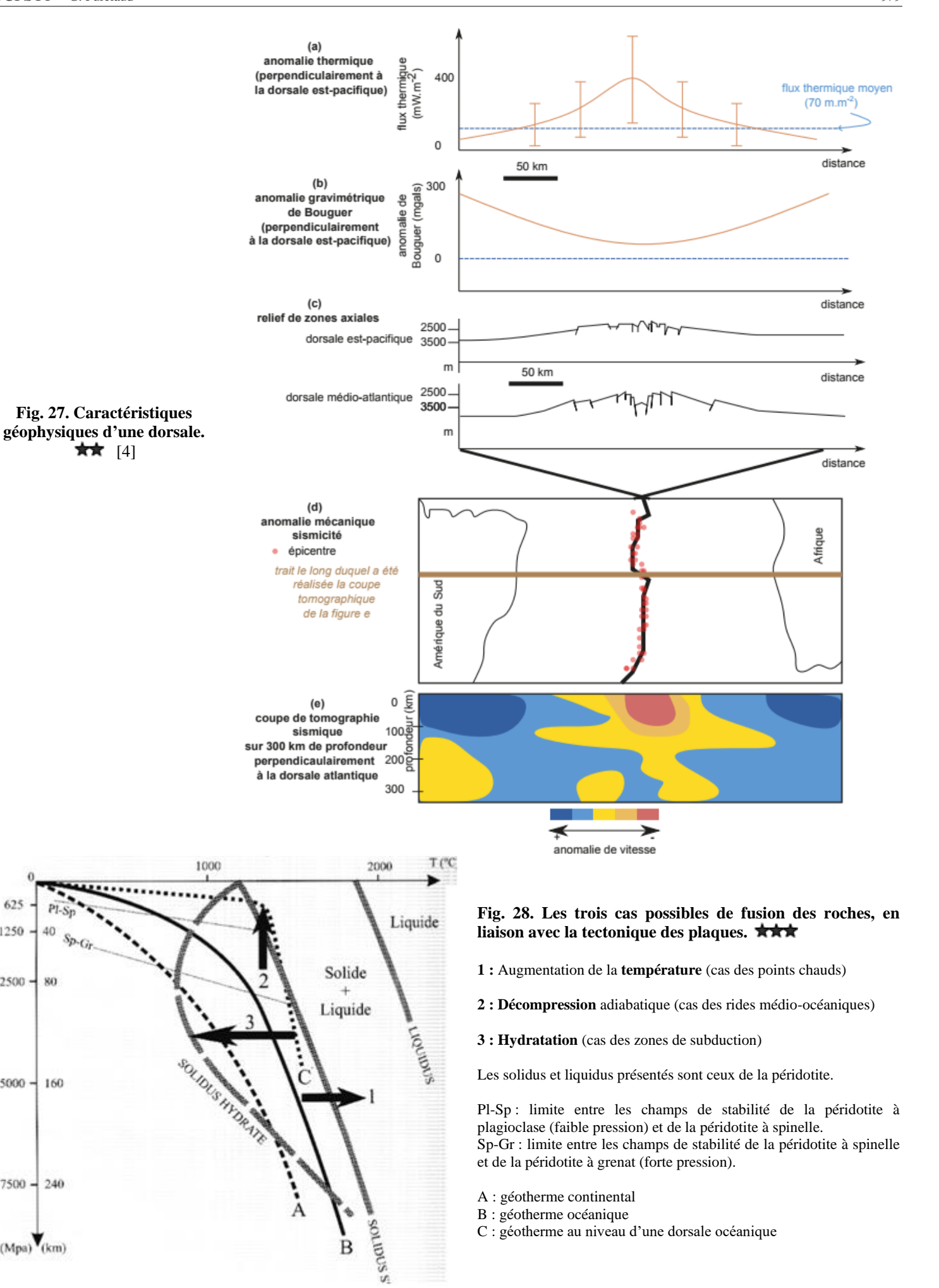
BCPST1 – G. Furelaud 8/9





Références	[1] Ouvrage ou page Internet non précisé	
	[2] http://www2.ggl.ulaval.ca/personnel/bourque/	
	[3] https://planet-terre.ens-lyon.fr/	
	[4] Biologie-Géologie tout-en-un BCPST1. Dunod éd.	

BCPST1 - G. Furelaud 9/9



7500 - 240

(Mpa) (km)

1250

2500

5000

80

160

★★ [4]